

پنهانی آسیب‌پذیری آب‌های زیرزمینی با استفاده از مدل DRASTIC و SI در محیط GIS (مطالعه موردی: دشت عجب‌شیر)

مهسا نخستین روحی^۱، محمدحسین رضایی مقدم^{۲*}، توحید رحیم‌پور^۳

۱ و ۳. کارشناسی ارشد سنجش از دور و GIS، دانشکده جغرافیا و برنامه‌ریزی، دانشگاه تبریز

۲. استاد گروه ژئومورفولوژی، دانشکده جغرافیا و برنامه‌ریزی، دانشگاه تبریز

(تاریخ دریافت ۱۳۹۵/۱۰/۰۱؛ تاریخ تصویب ۱۳۹۵/۱۲/۲۵)

چکیده

دشت عجب‌شیر در استان آذربایجان شرقی و در شمال غرب ایران واقع شده است. این دشت تأمین‌کننده آب شرب، کشاورزی و صنعت شهرستان عجب‌شیر است. در این تحقیق با توجه به ویژگی‌های هیدرولوژی و هیدرولوژی منطقه مطالعه شده، آسیب‌پذیری منابع آب زیرزمینی آبخوان در برابر عوامل آلاینده با استفاده از دو مدل DRASTIC و SI در محیط سیستم اطلاعات جغرافیایی پنهانی شده است. در مدل DRASTIC از هفت پارامتر شامل عمق سطح ایستابی، تغذیه خالص، محیط آبخوان، محیط خاک، توپوگرافی، محیط غیراشباع و هدایت هیدرولیکی برای تهیه نقشه آسیب‌پذیری استفاده می‌شود. در مدل SI نیز پنج عامل عمق آب زیرزمینی، تغذیه خالص، سنگ‌شناسی آبخوان، توپوگرافی و کاربری اراضی در ارزیابی آسیب‌پذیری آبخوان مؤثرند. پس از تهیه لایه‌های اطلاعاتی در محیط نرم‌افزار ArcGIS و وزن دهنده آنها، با تلفیق لایه‌های هر یک از دو مدل، نقشه نهایی آسیب‌پذیری آبخوان نسبت به آلودگی تهیه شد. با توجه به نقشه پنهانی به دست‌آمده از مدل SI، حدود ۲/۲۴ درصد از منطقه مطالعه شده در محدوده آسیب‌پذیری خیلی کم، ۵/۲۷ درصد آسیب‌پذیری ۴۵/۰۸ درصد آسیب‌پذیری متوسط تا کم، ۳۹/۰۹ درصد آسیب‌پذیری متوسط تا زیاد و ۸/۳ درصد در محدوده کم، ۵۵/۴۳ درصد آسیب‌پذیری زیاد قرار دارد. بر اساس نقشه مدل DRASTIC نیز ۱۳/۴۸ درصد از مساحت منطقه مطالعه شده در محدوده آسیب‌پذیری خیلی کم، ۲۸/۶۹ درصد آسیب‌پذیری متوسط تا کم و ۳/۰۸ درصد در محدوده آسیب‌پذیری با ضریب همبستگی ۰/۷۶ نسبت به مدل DRASTIC دقت زیادی برای تهیه نقشه آسیب‌پذیری منطقه دارد. همچنین با توجه به نقشه‌های تهیه شده از هر دو مدل و بهمنظور کنترل و جلوگیری از آلودگی بیشتر آبخوان دشت عجب‌شیر و نگهداری این منابع بالارزش برای استفاده آیندگان، حفاظت از منابع آب زیرزمینی منطقه مطالعه شده توسط مدیران و برنامه‌ریزان ضروری است.

کلیدواژگان: آب‌های زیرزمینی، آسیب‌پذیری، سیستم اطلاعات جغرافیایی، دشت عجب‌شیر، مدل SI، مدل DRASTIC

آن خصوصیات آلاینده و ارتباط آن با اجزای مختلف آسیب‌پذیری ذاتی مدنظرند [۱].

روش‌های مختلفی برای بررسی و ارزیابی پتانسیل آسیب‌پذیری در یک آبخوان وجود دارد که از آن جمله می‌توان به روش‌های شاخص و همپوشان، روش‌های آماری و روش‌های مبتنی بر شبیه‌سازی اشاره کرد [۴]. اصولاً روش‌های شاخص و همپوشان از ترکیب پارامترهای هیدرولوژیک مؤثر در انتقال آلودگی به آبهای زیرزمینی تشکیل می‌شوند. در این روش‌ها برای تعیین اهمیت نسبی، هر یک از پارامترها نسبت به سایرین ارزیابی می‌شوند. اگرچه این روش‌ها فرایندهای مؤثر در آلوده شدن منابع آب زیرزمینی را به طور کامل شرح نمی‌دهند، بدلیل ساده‌بودن روش و در دسترس بودن داده‌های مورد نیاز، اهمیت ویژه‌ای دارند [۵]. روش‌های آماری بدلیل تکیه این روش‌ها به تعداد زیادی داده از نواحی آلوده شده توسعه کمی پیدا کرده‌اند. روش‌های مبتنی بر شبیه‌سازی از شیمی و فیزیک واقعی انتقال آلوده کننده به زیرزمین برای پیش‌بینی میزان میرایی، جذب یا کسب انرژی دوباره بهوسیله آلوده کننده به‌هنگام انتقال به زیرزمین، الهام می‌گیرند. مدل‌های کامپیوتري می‌توانند به منظور محاسبه زمان پیمایش و نیز مقدار آلاینده به کار برد شوند. این محاسبات بر مبنای دانش آماری یا کارشناسی نیستند، بلکه بر اساس اصول علمی بنیادینی هستند که حرکت آب و آلوده کننده‌ها را کنترل می‌کنند.

تا کنون مطالعات مختلفی با استفاده از هر یک از روش‌های یادشده برای پنهان‌بندی آسیب‌پذیری آبهای زیرزمینی صورت گرفته است که به چند مورد آن اشاره می‌شود. معروفی و همکارانش [۶] برای شناسایی نواحی آسیب‌پذیر آبخوان دشت ملایر در برابر آلودگی از روش‌های DRASTIC، DRASTIC کشاورزی و SI^۳ استفاده کردند. نتایج نشان داد مدل DRASTIC کشاورزی بهترین مدل برای این منطقه است. براساس نقشه این روش ۷۱/۶۶ و ۱۵/۵ و ۱۲/۸۴ درصد از وسعت دشت بهتری در محدوده‌های آسیب‌پذیری کم، متوسط و زیاد قرار می‌گیرد. احمدی و همکارانش [۷] آسیب‌پذیری آبخوان دشت سلفچگان-نیزار در برابر آلودگی کشاورزی را به کمک مدل دراستیک و سامانه اطلاعات جغرافیایی ارزیابی کردند. در این روش هفت عامل

مقدمه

در جهان امروز، مسئله تأمین آب شیرین جزء بزرگ‌ترین دغدغه‌های بشر است. این مشکل در کشورهای گرم و خشک به شکل پرنگ‌تری مشاهده می‌شود. متاسفانه، کشور ایران نیز به دلیل موقعیت جغرافیایی خاص خود اقلیم خشک و نیمه‌خشک دارد و این امر، اهمیت توجه به آبهای زیرزمینی را دوچندان می‌کند. مهم‌ترین مشکل امروزی آبهای زیرزمینی آلودگی است. از جمله نتایج زیان‌بار آلودگی آبهای زیرزمینی می‌توان به کاهش کیفیت آب شرب، بالارفتن هزینه تصفیه و ایجاد مشکلات بهداشتی و زیستمحیطی اعم از شیوع انواع بیماری‌ها در انسان و دام و آبیان اشاره کرد.

منابع آب زیرزمینی به شکل‌های مختلف در معرض آلودگی قرار دارند که تشخیص و کنترل آلودگی در آنها نسبت به آبهای سطحی مشکل‌تر و پرهزینه‌تر است. بدلیل استمرار آلودگی در این منابع، بهترین روش جلوگیری از آلودگی آنها شناسایی منابع آلوده کننده و مناطق آسیب‌پذیر، تهیه نقشه‌های پنهان‌بندی آسیب‌پذیری و به کارگیری سیاست‌های مدیریتی مناسب است [۱]. تهیه نقشه نفاط مستعد آلودگی می‌تواند به عنوان کمک‌کننده‌ای برای دستگاه‌های تصمیم‌گیرنده به منظور حفاظت منابع آب زیرزمینی باشد [۲]. امکان نفوذ و انتشار آلاینده‌ها به درون سیستم آب زیرزمینی، آسیب‌پذیری نامیده می‌شود. مفهوم آسیب‌پذیری آبهای زیرزمینی براساس این فرض بنا شده است که محیط فیزیکی ممکن است آبهای زیرزمینی را در برابر برخی آثار نامطلوب طبیعی، به خصوص در مواردی که

آلودگی وارد سطح زمین می‌شود، حفاظت کند [۳].

آسیب‌پذیری آبهای زیرزمینی را می‌توان به دو گروه آسیب‌پذیری ذاتی^۱ و آسیب‌پذیری ویژه^۲ تقسیم کرد. در آسیب‌پذیری ذاتی، آسیب‌پذیری آبهای زیرزمینی به آلودگی‌های ایجاد شده توسط فعالیت‌های بشری مدنظر است و در محاسبه آن از خصوصیات ذاتی زمین‌شناسی، خصوصیات هیدرولوژیکی و هیدرولوژیکی منطقه، جدای از طبیعت آلودگی استفاده می‌شود. در آسیب‌پذیری ویژه، آسیب‌پذیری آبهای زیرزمینی نسبت به یک آلودگی خاص و یا گروهی از آلاینده‌ها ارزیابی شده و در محاسبه

1. Intrinsic Vulnerability
2. Specific Vulnerability

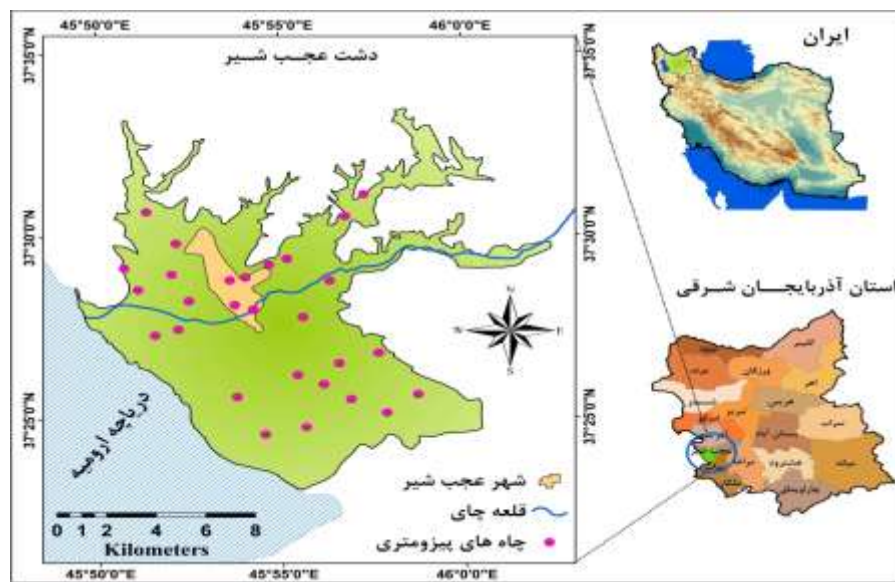
وجود آسیب‌پذیری کم تا متوسط نسبت به آلاینده‌های شیمیایی و آسیب‌پذیری متوسط تا زیاد نسبت به نفوذ املاح موجود در آب دریا بود.

دشت عجب‌شیر از دشت‌های مهم و حاصل خیز استان آذربایجان شرقی است و بیشتر اراضی این دشت کاربری کشاورزی دارند و استفاده از سومون و کودهای شیمیایی در کشاورزی منطقه اجتناب‌ناپذیر است. همچنین قرارگیری شهر عجب‌شیر و روستاهای زیاد در این دشت و وجود فاضلاب‌های شهری و روستایی، منابع آب زیرزمینی این دشت را در معرض آلودگی قرار داده است. بنابراین، با تهیه نقشه آسیب‌پذیری می‌توان منابع آب زیرزمینی دشت عجب‌شیر را با مدیریت صحیح از خطر آلودگی محافظت کرد. بر این اساس، در پژوهش حاضر به منظور شناسایی نواحی آسیب‌پذیر آبخوان دشت عجب‌شیر در برابر آلودگی و تهیه نقشه آسیب‌پذیری دشت از دو روش DRASTIC و SI و سیستم اطلاعات جغرافیایی استفاده شده است.

منطقه مطالعه‌شده

دشت عجب‌شیر با مساحت $144/69$ کیلومترمربع در استان آذربایجان شرقی و در شهرستان عجب‌شیر واقع شده است. این منطقه از لحاظ موقعیت جغرافیایی در طول جغرافیایی 45 درجه، 49 دقیقه و 23 ثانیه تا 46 درجه، 2 دقیقه و 25 ثانیه شرقی و عرض جغرافیایی 37 درجه، 23 دقیقه و 4 ثانیه تا 37 درجه، 33 دقیقه و 29 ثانیه شمالی قرار گرفته است. کمترین و بیشترین ارتفاع این دشت به ترتیب 1280 و 1641 متر از سطح دریاست. متوسط بارندگی سالانه به حدود 329 میلی‌متر در سال می‌رسد. این دشت از جمله مناطق مهم کشاورزی استان آذربایجان شرقی و کشور است که با بحران آب‌های زیرزمینی روبروست [۱۳]. برای تعیین محدوده آبخوان دشت عجب‌شیر از نقشه‌های زمین‌شناسی $1:100000$ برگرفته از سازمان زمین‌شناسی کشور (برگهای عجب‌شیر، آذرشهر و مراغه برای پوشش کامل منطقه) استفاده شده و محدوده دشت عجب‌شیر در محیط نرم‌افزار ArcGIS رقومی شد. شکل ۱ موقعیت جغرافیایی منطقه مطالعه‌شده را در ایران و استان آذربایجان شرقی نشان می‌دهد.

هیدرولوژیک مؤثر بر آلودگی آب‌های زیرزمینی ترکیب شدن. نتایج مربوط به حريم‌های مختلف کیفی نشان داد حريم کیفی محدوده مطالعاتی در چهار رده حريم‌های خیلی کم، کم، متوسط و زیاد قرار دارد که به ترتیب قبل از تصحیح مدل 550 ، 498 و 486 کیلومترمربع و بعد از تصحیح مدل مقادیر یادشده به ترتیب به 351 ، 401 و 425 کیلومترمربع تغییر یافت. تبرماهه و واعظی هیر [۸] برای پتانسیل یابی آلودگی منابع آب زیرزمینی در دشت تبریز از مدل دراستیک استفاده کردند و نقشه آسیب‌پذیری آبخوان در برابر آلودگی را تهیه کردند. نقشه پهنه‌بندی آسیب‌پذیری برگرفته از نتایج نشان داد $55/84$ درصد از منطقه اندیس دراستیک بین 120 - 140 داشته است و به ترتیب $22/0.8$ و $21/81$ درصد در محدوده متوسط تا زیاد، کم و زیاد قرار دارند. نخعی و همکارانش [۹] با استفاده از مدل دراستیک، پتانسیل آلودگی و آنالیز حساسیت آب زیرزمینی آبخوان خاتون‌آباد را ارزیابی کردند. نتایج پژوهش آنها نشان داد حدود 30 درصد از منطقه مطالعه‌شده در محدوده آسیب‌پذیری کم و 70 درصد باقی‌مانده در محدوده آسیب‌پذیری متوسط قرار دارد. محدوده آسیب‌پذیری متوسط قسمت‌های وسیعی از شمال غرب، غرب و مرکز آبخوان را در بر می‌گیرد. اینه آکه و همکارانش [۱۰] با استفاده از روش‌های دراستیک و SI آسیب‌پذیری نسبت به آلودگی نیترات در وب بونوا (جنوب شرق ساحل عاج) را بررسی کردند. سه کلاس آسیب‌پذیری خیلی کم، زیاد و خیلی زیاد توسط روش SI و سه کلاس آسیب‌پذیری متوسط، زیاد و خیلی زیاد توسط روش دراستیک شناسایی شدند. بررسی‌ها نشان داد طبقه زیاد با $66/18$ درصد (در روش دراستیک) و طبقه خیلی زیاد با 52 درصد (در روش SI) کلاس‌های بیشترین مساحت را دارند. سها و آلم [۱۱] با استفاده از مدل دراستیک، آسیب‌پذیری آب‌های زیرزمینی دشت گانگتیک واقع در هندوستان را ارزیابی کردند. نتایج پژوهش آنها نشان داد بخش‌های جنوب غرب و مرکز منطقه در بالاترین رده از لحاظ آسیب‌پذیری قرار دارند. پدریرا و همکارانش [۱۲] آسیب‌پذیری آب زیرزمینی را در یک آبخوان ساحلی در شرق رودخانه نستوس واقع در کشور یونان بررسی کردند. در این تحقیق از دو شاخص DRASTIC و GALDIT و سیستم اطلاعات جغرافیایی استفاده شد. نتایج بررسی‌ها بیان کننده



شکل ۱. موقعیت جغرافیایی منطقه مطالعه شده

پارامتر عمق آب زیرزمینی، تغذیه خالص، سنگشناسی آبخوان، توپوگرافی و کاربری اراضی (LU) برای ارزیابی آسیب‌پذیری آبخوان استفاده می‌شود. تفاوت اصلی این روش با روش دراستیک، ورود پارامتر کاربری اراضی به آن است. این روش در سال ۲۰۰۰ توسط ریبیرو با هدف ارزیابی آسیب‌پذیری آبخوان در مقیاس بزرگ تا متوسط (۵۰۰۰۰:۱ تا ۲۰۰۰۰:۱)، ارائه شده است [۱۶]. پس از تهیه لایه‌های مدل SI و وزن دهنی هر یک از طبقات لایه‌ها در محیط نرم‌افزار ArcGIS، شاخص حساسیت از مجموع وزنی پارامترهای یادشده به دست می‌آید (رابطه ۲):

$$SI = D_r D_w + R_r R_w + A_r A_w + T_r T_w + LU_r LU_w \quad (2)$$

در این رابطه SI؛ شاخص حساسیت، حروف بزرگ؛ حرف اول نام لایه‌ها، اندیس w ؛ رتبه لایه و اندیس w ؛ وزن لایه است. مقدار عددی شاخص حساسیت می‌تواند بین صفر تا ۱۰۰ متغیر باشد [۱۶]. در شکل ۲ ساختار مدل DRASIC و SI برای ارزیابی پتانسیل آسیب‌پذیری آبخوان دشت عجب‌شیر آورده شده است.

در جدول ۱ وزن هر یک از طبقات لایه‌های استفاده شده در روش DRASTIC ارائه شده است. نقشه چهار پارامتر عمق آب زیرزمینی، تغذیه خالص، محیط اشباع و توپوگرافی در روش SI همانند روش دراستیک رتبه‌بندی می‌شوند و تنها تفاوت آنها در این است که در روش SI، رتبه‌های زیرمعیارهای این لایه‌ها باید در عدد

روش تحقیق

در این تحقیق برای پنهانه‌بندی آسیب‌پذیری آبخوان دشت عجب‌شیر از نظر آلودگی از دو روش DRASTIC و SI استفاده شده است. روش دراستیک که نخستین بار توسط آرل و همکارانش در سال ۱۹۸۷ ارائه شده است از معروف‌ترین و پرکاربردترین روش‌های ارزیابی آسیب‌پذیری ذاتی آبهای زیرزمینی است. پارامترهای استفاده شده در این روش شامل عمق سطح ایستابی (D)، تغذیه خالص (R)، محیط آبخوان (A)، محیط خاک (S)، توپوگرافی (T)، اثر محیط غیراشباع (I) و هدایت هیدرولوکی آبخوان (C) است [۱۶]. پس از استخراج نقشه‌های هفت پارامتر مورد نیاز، نقشه آسیب‌پذیری به روش دراستیک با استفاده از همپوشانی شاخص‌ها به دست می‌آید. برای تهیه نقشه شاخص دراستیک از معادله ۱ استفاده می‌شود:

$$DI = \sum_{j=1}^r r_j w_j = D_r D_w + R_r R_w + A_r A_w + T_r T_w + LU_r LU_w \quad (1)$$

$$S_r S_w + T_r T_w + I_r I_w + C_r C_w$$

در رابطه ۱ DI شاخص دراستیک، حروف بزرگ؛ حروف اول نام لایه‌ها، اندیس w ؛ رتبه لایه و اندیس w ؛ وزن لایه را نشان می‌دهد. محدوده عددی شاخص دراستیک می‌تواند بین ۲۳ تا ۲۳۰ متغیر باشد که در هشت کلاس با درجات کیفی از بسیار کم تا بسیار زیاد تقسیم‌بندی می‌شود [۱۵]. روش SI (شاخص حساسیت) روشهای برای ارزیابی پتانسیل آسیب‌پذیری ویژه آبخوان است. در این روش پنج

در خاک پخش، رقیق یا جذب می‌شوند و احتمال پالایش آلاینده‌ها افزایش می‌یابد. در نتیجه با افزایش عمق، پتانسیل آلودگی کاهش خواهد یافت.

تغذیه خالص (R)

تغذیه مقدار آبی است که در سطح زمین نفوذ می‌کند و به سطح ایستابی می‌رسد [۱۸]. این عامل سبب حرکت عمودی آلاینده‌ها به صورت محلول یا کلوئیدی یا معلق به درون زمین می‌شود. روش‌های مختلفی برای محاسبه تغذیه خالص وجود دارد. در تحقیق حاضر از روش پیسکوپ برای تهیه لایه تغذیه خالص استفاده شد. این روش سه عامل بارندگی، شبیه (درصد) و نفوذپذیری خاک را مد نظر قرار می‌دهد. برای تهیه نقشه بارندگی از آمار متوسط بارندگی سالانه ایستگاه‌های موجود در منطقه و روش درون‌یابی IDW به‌دلیل دقت بیشتر استفاده شد. نقشه شبیه با استفاده از مدل رقومی ارتفاع تهیه شد و نقشه نفوذپذیری خاک نیز از طریق درون‌یابی آمار نفوذپذیری نقاط معلوم به روش IDW حاصل شد. رتبه‌بندی نقشه‌های شبیه، نفوذپذیری، بارش و تغذیه خالص در جدول ۲ ارائه شده است. مطابق این جدول رتبه ۱ به نقشه بارندگی ۲ اطلاق شد، چرا که متوسط بارندگی منطقه ۲۵۹ میلی‌متر در سال است. در نهایت، بر اساس معادله پیسکوپ نقشه‌های رتبه‌بندی شبیه و نفوذپذیری و رتبه بارش یعنی ۱ در محیط نرم‌افزار ArcGIS جمع شده و نقشه تغذیه حاصل شد.

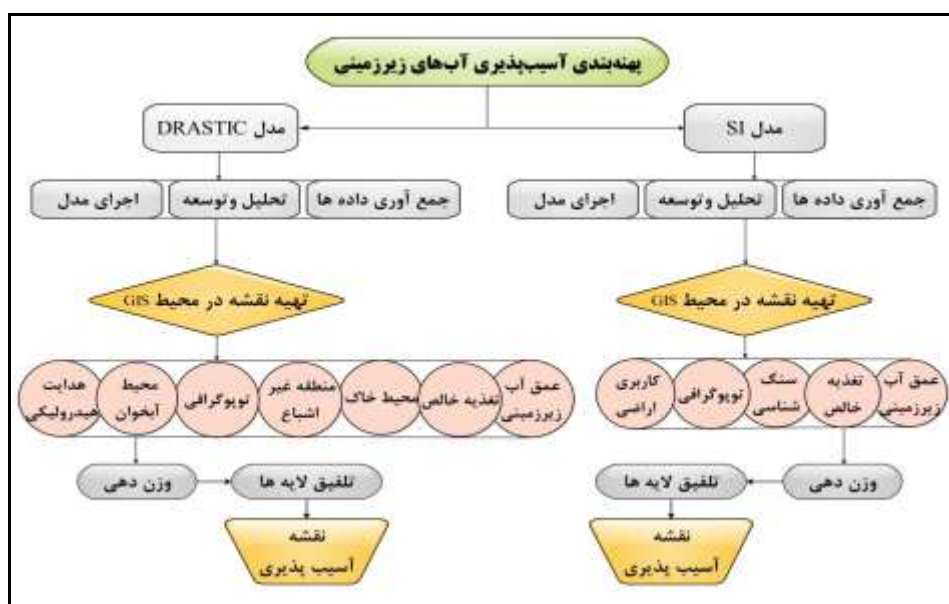
۱۰ ضرب شود. یعنی اگر رتبه یکی از زیربخش‌های لایه‌ای در روش دراستیک ۲ باشد در روش SI به ۲۰ تبدیل می‌شود. در واقع رتبه زیربخش‌های لایه‌های روش SI بین صفر تا ۱۰۰ متغیر است.

نتایج و بحث

به منظور اهداف پژوهش، برای تهیه هر یک از لایه‌های استفاده شده در دو مدل DRASTIC و SI از توانایی‌های سیستم اطلاعات جغرافیایی و فناوری سنجش از دور استفاده شده و هر یک از لایه‌ها در محیط نرم‌افزارهای ENVI و ArcGIS تهیه شده است. در ادامه به بررسی هر یک از لایه‌ها و چگونگی تهیه آنها اشاره شده است.

عمق آب زیرزمینی (D)

به فاصله بین سطح زمین تا سطح ایستابی آب عمق آب زیرزمینی گفته می‌شود. بهیان دیگر، این پارامتر بیان کننده عمقی است که آلوده‌کننده باید طی کند تا به سطح ایستابی برسد [۷]. در این تحقیق برای تهیه لایه عمق از آمار سطح آب استفاده شد که از میانگین سطح آب اندازه‌گیری شده طی چهار ماه از سال ۱۳۹۰ و در ۲۶ چاه پیزومتری به دست آمده بود. لایه مد نظر با استفاده از روش درون‌یابی Kriging به‌دلیل دقت بیشتر نسبت به سایر روش‌ها در نرم‌افزار ArcGIS تهیه شد. هر چه عمق آب زیرزمینی بیشتر باشد، مدت زمانی که طول می‌کشد تا آلاینده به سفره برسد افزایش می‌یابد و مواد آلاینده نیز



شکل ۲. ساختار مدل DRASTIC و SI برای ارزیابی پتانسیل آسیب‌پذیری آبخوان دشت عجب‌شیر

جدول ۱. رتبه و وزن پارامترهای مدل دراستیک [۱۷]

عمق آب زیرزمینی (متر)										محدوده				
>۳۰/۴	۳۰/۴-۲۲/۸	۲۲/۸-۱۵/۲	۱۵/۲-۹/۱	۴/۶-۹/۱	۴/۶-۱/۵	۱/۵-۰	۱۰	۹	۷	۵	۳	۲	۱	
توبوگرافی (درصد)													رتبه	
>۱۸		۱۸-۱۲	۱۲-۶	۶-۲	۲-۰								محدوده	
۱		۳	۵	۹	۱۰								رتبه	
هدایت هیدرولیکی (متر در روز)													محدوده	
>۸۲	۸۲-۴۱	۴۱-۲۸/۷	۲۸/۷-۱۲/۳	۱۲/۳-۴/۱	۴/۱-۰/۰۴								رتبه	
۱۰	۸	۶	۴	۲	۱									
محیط آبخوان														
سنگ	کارستی	آلن	پودر	پودر	ماسه	ماسه	آهک	آهک	آهک	آهک	آهک	آهک	آهک	نوع سازند
۱۰	۹	۸	۶	۶	۶	۵	۴	۳	۲					رتبه
محیط خاک														
چوب	کل	پودر	پودر	پودر	ماسه	ماسه	آهک	آهک	آهک	آهک	آهک	آهک	آهک	جنس لایه خاک
۱	۲	۳	۴	۵	۶	۷	۸	۹	۱۰	۱۰	۹	۸	۷	رتبه
منطقه غیراشباع														
سنگ	کارستی	آلن	پودر	پودر	ماسه	پودر	ماسه	آهک	آهک	آهک	آهک	آهک	آهک	مخصوص نزدیک
۱۰	۹	۸	۶	۶	۶	۶	۶	۳	۳	۱				نوع سازند
۱۰	۹	۸	۶	۶	۶	۶	۶	۳	۳	۱				رتبه

جدول ۲. رتبه‌بندی تغذیه خالص و عوامل مؤثر بر آن [۱۹]

میزان تغذیه	نفوذپذیری خاک			بارندگی (میلی متر)			شیب (درصد)		
	محدوده رتبه	محدوده فاکتور	محدوده فاکتور	محدوده فاکتور	محدوده فاکتور	محدوده فاکتور	محدوده فاکتور	محدوده فاکتور	محدوده فاکتور
۱۰	۵-۳	۱	خیلی کم	۱	۵۰۰>	۱	بیشتر از ۱۸		
۳۰	۷-۵	۲	کم	۲	۷۰۰-۵۰۰	۲	۱۸-۱۲		
۵۰	۹-۷	۳	متوسط	۳	۸۵۰-۷۰۰	۳	۱۲-۶		
۸۰	۱۱-۹	۴	متوسط تا زیاد	۴	بیشتر از ۸۵۰	۴	۶-۲		
۱۰۰	۱۴-۱۱	۵	زیاد	-	-	۵	۲-۰		

اطلاعات مربوط به جنس طبقه اشباع در ۲۷ مقطع حفاری و لوله‌گذاری و کاوش‌های ژئوفیزیکی و زمین‌شناسی در منطقه مطالعه شده استفاده شد. هر چه ذرات مواد تشکیل دهنده محیط آبخوان دانه‌درشت باشد، میزان نفوذپذیری در این ناحیه بیشتر خواهد بود و هیچ واکنشی بین آلانینده و خاک صورت نخواهد گرفت و در نتیجه سرعت زیاد انتشار

(A) سنجشناسی آبخوان (محیط آبخوان) این عامل به خصوصیات مواد تشکیل دهنده منطقه اشباع مانند میزان تخلخل، جنس، اندازه و جور شدگی ذرات مربوط است که میزان پویایی و حرکت آلدگی و بهبودی فرایندهای رقیق‌سازی آلدگی مانند تجزیه شیمیایی، جذب، پخش و تأخیر را کنترل می‌کند [۷]. برای تهیه نقشه این فاکتور از

منطقه غیراشباع (I)

این لایه نشان‌دهنده جنس خاک از منطقه زیرین محیط خاک تا سطح ایستایی، یعنی ناحیه غیراشباع یا وادوز است. خلل و فرج این ناحیه به لحاظ آبداربودن، غیراشباع یا نیمه‌اشباع است. برای تهیه نقشه این پارامتر از داده‌های مربوط به جنس خاک منطقه غیراشباع در ۲۷ مقطع حفاری و لوله‌گذاری در دشت عجب‌شیر استفاده شد. همچنین کاوش‌های ژئوفیزیکی و زمین‌شناسی برای تعیین جنس خاک در مقاطع غیراشباع استفاده شد. هر چه منطقه غیراشباع نفوذپذیری بیشتری داشته باشد، واکنش کمتری بین آلینده‌ها و ذرات خاک شکل می‌گیرد و شستشو به سمت آبخوان سریع‌تر و بیشتر می‌شود. در نتیجه پتانسیل آلودگی افزایش می‌یابد.

هدایت هیدرولیکی (C)

هدایت هیدرولیکی عبارت است از توانایی محیط آبخوان برای انتقال آب و مواد آلینده همراه آن. این پارامتر انتقال و پراکندگی آلینده را از نقطه تزریق در داخل منطقه اشباع کنترل می‌کند [۱۸]. این فاکتور به تخلخل بین دانه‌ای و درز و شکاف‌های موجود در منطقه اشباع و همچنین به شبیه هیدرولیکی زمین بستگی دارد. برای تهیه نقشه هدایت هیدرولیکی، نقشه قابلیت انتقال بر نقشه ضخامت لایه اشباع تقسیم می‌شود. ضریب انتقال یا قابلیت انتقال یک لایه آبدار عبارت است از مقدار آبی که از یک واحد سطح مقطع لایه آبدار تحت شبیه هیدرولیکی واحد عبور می‌کند و واحد آن مترمربع در روز (متر در روز در هر متر ضخامت لایه) است. در مفهوم ضریب انتقال فرض می‌شود که حرکت آب در آبخوان به صورت افقی است [۲۲]. در این تحقیق نقشه قابلیت انتقال از آمار به دست آمده از نتایج آزمایش‌های پمپاژ و با استفاده از روش درون‌یابی Kriging (به‌دلیل دقت بیشتر نسبت به سایر روش‌ها) به دست آمد. نقشه ضخامت لایه اشباع نیز از درون‌یابی داده‌های مربوط به عمق ناحیه اشباع حاصل از مقاطع حفاری به روش Kriging (به‌دلیل دقت بیشتر) حاصل شد.

کاربری اراضی (LU)

برای تهیه نقشه کاربری اراضی از تصویر ماهواره‌ای لندست ۸ سنجنده OLI، گذر ۱۶۸ و ردیف ۳۴، مربوط به ۲۶ ماه می ۱۴ (۵ خرداد ۱۳۹۳) و با قدرت تفکیک مکانی ۳۰ متر

آلینده‌ها، پتانسیل آلودگی افزایش می‌یابد [۹]. وجود ذرات ریزدانه در این بخش، مدت زمان عبور آلینده از این منطقه را افزایش می‌دهد که سبب افزایش فرایندهای نظیر جذب، پخش و واکنش‌های شیمیایی آلینده‌ها می‌شود و در نتیجه پتانسیل آسیب‌پذیری کاهش می‌یابد [۱۴]. نقشه سنگ‌شناسی آبخوان شامل چهار بخش آبرفت ریزدانه، دگرگونی، شن و ماسه و شیل و آهک است. طبقه دگرگونی به‌دلیل یکپارچگی و نفوذپذیری خیلی کم کمترین امتیاز را دریافت کرده است. نفوذپذیری به‌ترتیب در آبرفت ریزدانه، شیل و آهک و شن و ماسه افزایش می‌یابد و در نتیجه رتبه‌های این طبقات نیز افزایش یافته است.

محیط خاک (S)

این فاکتور که برای تعیین توزیع مکانی انواع خاک در منطقه استفاده می‌شود، نشان‌دهنده بافت خاک از سطح زمین تا قسمت بالایی منطقه غیراشباع (وادوز) است. لایه خاک معمولاً با ضخامتی حدود ۰/۵ تا ۲ متر به‌دلیل فعالیت نسبتاً زیاد میکروبی، وجود مواد آلی زیاد و وجود رسه گیاهان، برای حذف و کاهش غلظت آلینده‌ها پتانسیل زیادی دارد [۲۰]. پتانسیل آلودگی آبخوان به خصوصیات خاک مانند نفوذپذیری، بافت و درصد مواد آلی خاک بستگی دارد [۲۱]. در این تحقیق برای تهیه نقشه خاک از نکشه خاک استخراج شده با مقیاس ۱:۵۰۰۰۰ در تهیه نقشه رسترن، نقشه کشاورزی استفاده شد. برای تهیه نقشه رسترن، نقشه اسکن شده اولیه زمین مرجع و سپس رقومی شد. در محیط خاک هر چه مقدار رس و ماده آلی کمتر باشد، ظرفیت میرایی کاهش و نفوذپذیری و پویایی آلینده افزایش می‌یابد.

توبوگرافی (T)

عامل توبوگرافی، بیان کننده تغییرات شبیه منطقه است. متوجه درصد شبیب بین دو نقطه از تقسیم فاصله عمودی بر فاصله افقی بین آنها و ضرب این مقدار در عدد ۱۰۰ حاصل می‌شود [۱۵]. در این تحقیق نقشه شبیب با استفاده از نقشه مدل رقومی ارتفاع با قدرت تفکیک مکانی ۳۰ متر در نرم‌افزار ArcGIS تهیه شد. تغییرات شبیب، میزان نفوذ بارندگی در زمین و شدت رواناب را کنترل می‌کند، به‌طوری که هر چه شبیب کمتر باشد رواناب و فرسایش کمتری ایجاد می‌شود و نفوذ بارندگی در زمین با سهولت بیشتری صورت می‌گیرد و در نتیجه پتانسیل آسیب‌پذیری بیشتر می‌شود.

۸/۳ درصد از مساحت منطقه در بخش‌هایی از مرکز، شمال، شمال غرب و جنوب آسیب‌پذیری زیادی دارد. ۳۹/۰۹ درصد از منطقه شامل نواحی وسیعی در مرکز، شمال و جنوب دشت آسیب‌پذیری متوسط تا زیاد دارد. بیشترین مساحت منطقه آسیب‌پذیری (۴۵/۰۸ درصد) در نواحی مرزی و بخش‌هایی از مرکز آسیب‌پذیری متوسط تا کم دارد. ۵/۲۷ درصد از مساحت منطقه در نواحی کوچکی از مرزهای شمالی و شرقی و ۲/۲۴ درصد در قسمت‌هایی از شمال شرق و شمال به ترتیب پتانسیل آسیب‌پذیری کم و خیلی کم دارد. در واقع، بر اساس مدل شاخص حساسیت، آبخوان دشت عجب‌شیر بیشتر پتانسیل آسیب‌پذیری متوسط تا کم و متوسط تا زیاد دارد. دامنه مقادیر شاخص دراستیک برای منطقه مطالعه‌شده بین ۷۸ تا ۱۴۵ به دست آمده است. نقشه این شاخص در ۴ طبقه از آسیب‌پذیری خیلی کم تا آسیب‌پذیری متوسط تا زیاد استخراج شده است. بیشترین مساحت منطقه (۵۵/۴۳ درصد) آسیب‌پذیری کم دارد که بخش‌های زیادی از شمال و جنوب دشت را پوشش می‌دهد. پس از آن به ترتیب آسیب‌پذیری متوسط تا کم (۲۸/۶۹ درصد) در بخش‌هایی از مرکز، شرق، غرب و جنوب، آسیب‌پذیری خیلی کم (۱۳/۴۸ درصد) در قسمت‌هایی از شمال، شمال شرق و مرکز و در نهایت آسیب‌پذیری متوسط تا زیاد (۳/۰۸ درصد) در بخش کوچکی از غرب در رده‌های بعدی از لحاظ مساحت قرار دارند. در واقع، طبق مدل دراستیک بیشتر بخش‌های آبخوان دشت عجب‌شیر پتانسیل آسیب‌پذیری کم و متوسط تا کم دارد (جدول ۴). نقشه آسیب‌پذیری دشت عجب‌شیر با استفاده از دو مدل DRASTIC و SI در شکل ۵ نشان داده شده است.

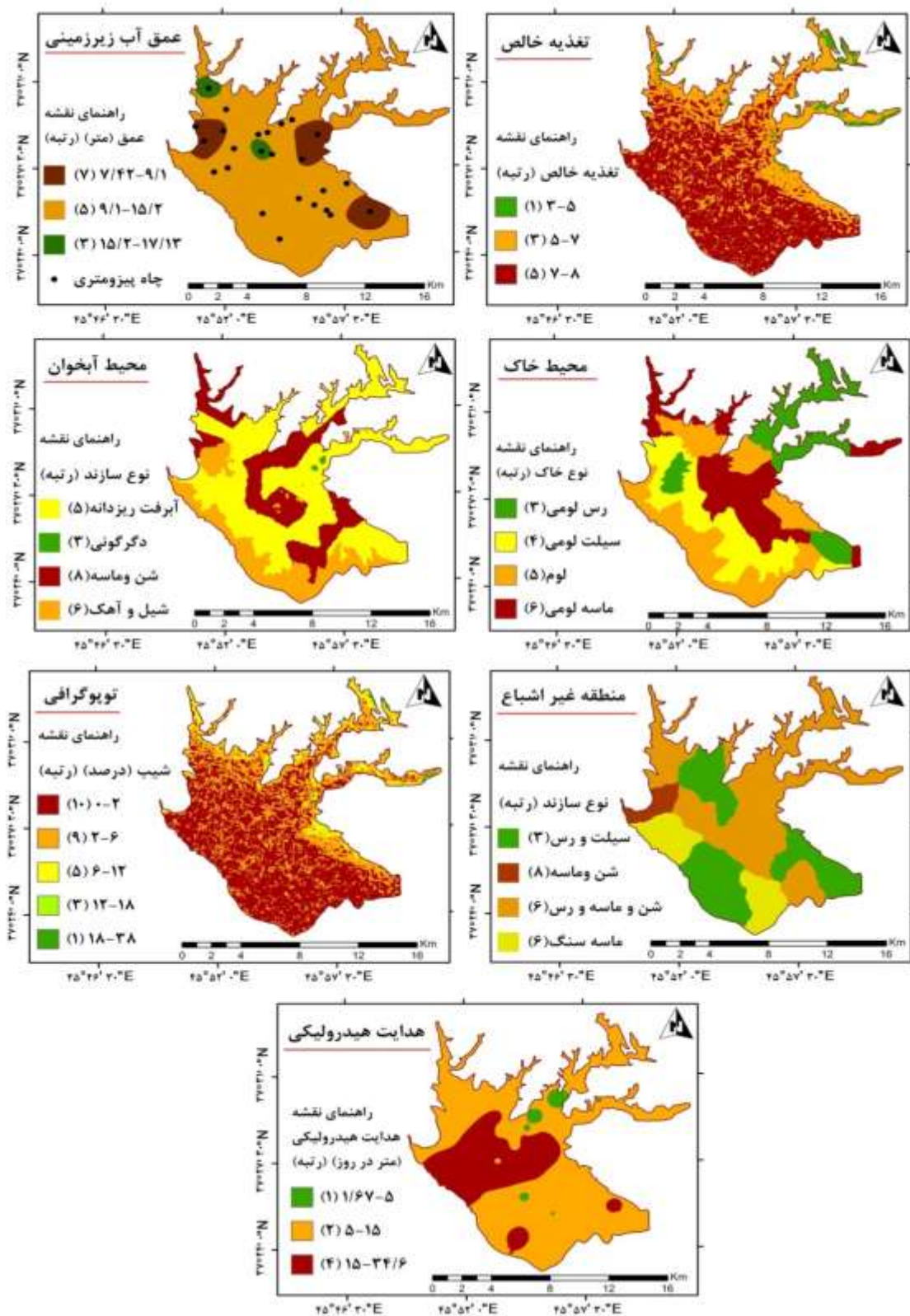
جدول ۳. رتبه‌بندی کاربری اراضی در مدل شاخص حساسیت [۱۵]

رتبه	نوع کاربری	مناطق کشاورزی
۹۰	محیط‌های آبیاری (محصولات سالیانه)، مزارع برنج	
۷۰	محصولات دائمی (باغستان، تاکستان)	
۵۰	مناطق کشاورزی ناهمنگ	
۵۰	مراتع و نواحی جنگلی - کشاورزی	
۱۰۰	ضایعات صنعتی، محلهای دفن زباله	
۸۰	مناطق مصنوعی	
۷۵	معدن سنگ، کارخانه‌های کشتی‌سازی، معادن صحرایی	مناطق مصنوعی (ساختمانی)
۷۰	مناطق شهری پیوسته، فروگاه، بنادر، جاده، راه‌آهن، مناطق صنعتی و تجاری خارج از فضای سبز	مناطق شهری ناپیوسته
۵۰	محیط‌های آبی (باتلاق‌های نمک، دریاچه نمک، نواحی جزر و مدی)	مناطق طبیعی
.	جنگل‌ها و نواحی نیمه‌طبیعی	
.	مناطق آبی	

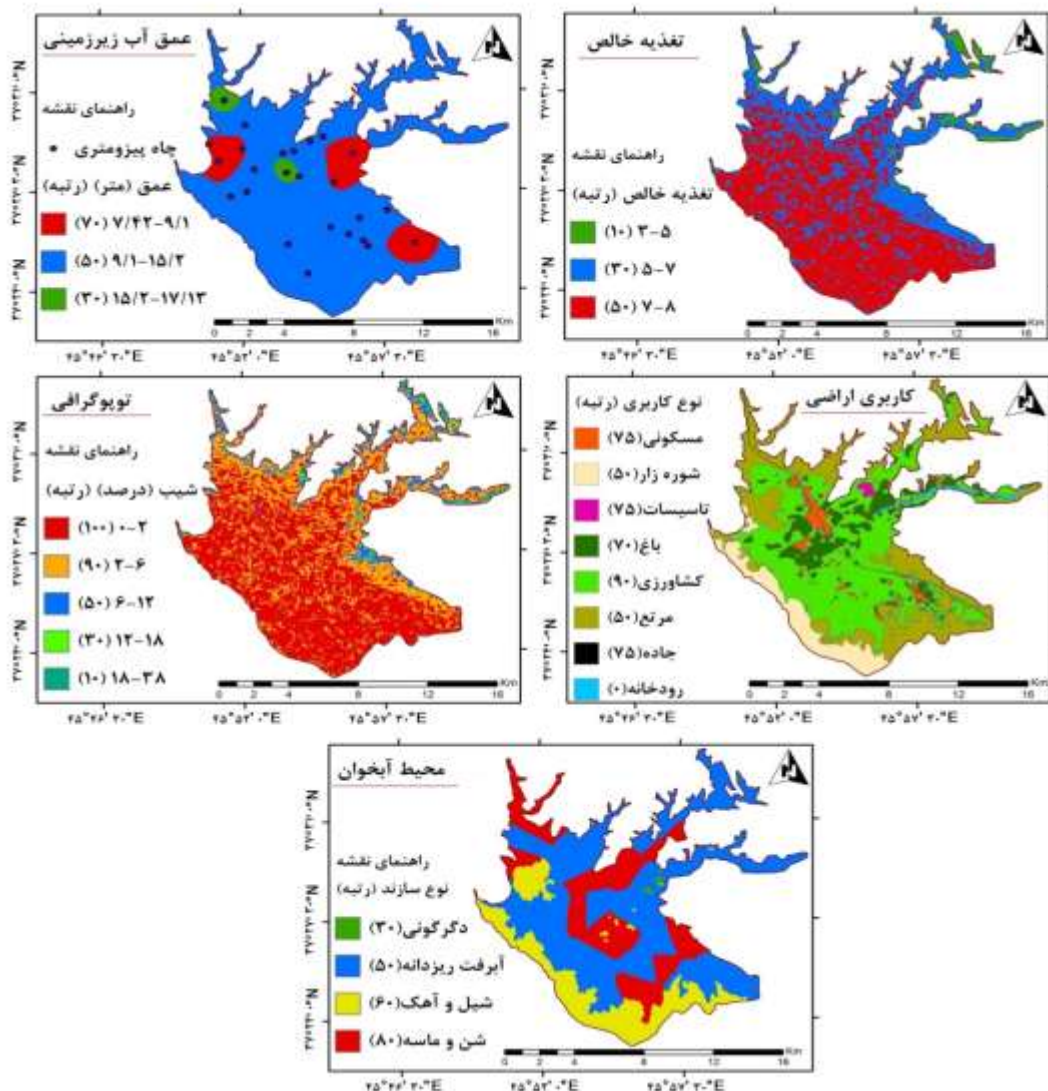
استفاده شد. منطقه مطالعه‌شده شامل کاربری‌های باغ، تأسیسات، جاده، رودخانه، شوره‌زار، مرتع، مسکونی و کشاورزی آبی است. بیشترین رتبه به کاربری کشاورزی داده شده است، چرا که کودهای شیمیایی استفاده شده در مزارع توسط آب آبیاری و بارندگی شسته شده و به راحتی در سطح زمین نفوذ می‌کنند. شبکه کم در این نواحی نیز نفوذ آلینده‌ها را آسان می‌کند. مناطق مسکونی، تأسیسات و جاده در دومین رتبه از لحاظ افزایش پتانسیل آسیب‌پذیری آبخوان قرار دارند. این می‌تواند به دلیل آلودگی‌های ناشی از عوامل انسانی باشد. پس از آن باغ در جایگاه سوم قرار گرفته است. در نهایت، رودخانه به دلیل نفوذ پذیری بسیار اندک رتبه صفر را از لحاظ افزایش پتانسیل آسیب‌پذیری آبخوان به خود اختصاص داده است. رتبه‌بندی زیرمعیارهای این پارامتر در جدول ۳ نشان داده شده است.

در شکل‌های ۳ و ۴ هر یک از لایه‌های مدل DRASTIC و SI و رتبه هر یک از طبقات لایه‌ها نشان داده شده است.

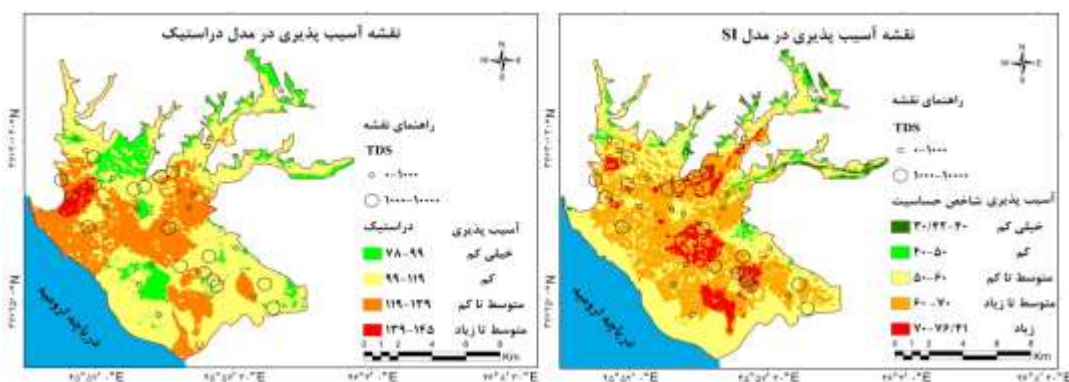
پس از تهیه هر یک از لایه‌های مدل DRASTIC و SI برای تهیه نقشه آسیب‌پذیری آبخوان، لایه‌های هر مدل در محیط نرم‌افزار ArcGIS با هم تلفیق شد و نقشه نهایی به دست آمد. نقشه‌های هر یک از دو مدل بر اساس طبقه‌بندی آلر و همکارانش [۱۷] و استیگتر و همکارانش [۱۵] طبقه‌بندی شد. شاخص حساسیت برای منطقه مطالعه‌شده از ۳۰/۴۲ تا ۷۶/۴۱ محاسبه شده است. طبق این شاخص، آبخوان دشت عجب‌شیر پنج طبقه آسیب‌پذیری از خیلی کم تا زیاد دارد. محاسبه مساحت هر یک از طبقات نشان می‌دهد



شکل ۳. نقشه لایه‌های مدل DRASTIC



شکل ۴. نقشه لایه‌های مدل SI



شکل ۵. نقشه پهنگ‌بندی پتانسیل آسیب‌پذیری آبخوان دشت عجب‌شیر

جدول ۴. مساحت طبقات آسیب‌پذیری در نقشه‌های مدل SI و DRASTIC

درصد مساحت	مساحت (Km ²)	مدل DRASTIC	آسیب‌پذیری	مدل SI	مساحت (Km ²)	درصد مساحت
۱۲/۴۸	۱۹/۴۴	۹۹-۷۸	خیلی کم	۴۰-۳۰/۴۲	۳/۲۵	۲/۲۴
۵۵/۴۳	۷۹/۹۳	۱۱۹-۹۹	کم	۵۰-۴۰/۱	۷/۶۲	۵/۲۷
۲۸/۶۹	۴۱/۳۷	۱۳۹-۱۱۹	متوسط تا کم	۶۰-۵۰/۱	۶۵/۱۷	۴۵/۰۸
۳/۰۸	۴/۴۵	۱۴۵-۱۳۹	متوسط تا زیاد	۷۰-۶۰/۱	۵۶/۵۱	۳۹/۰۹
-	-	-	زیاد	۷۶/۴۱-۷۰/۱	۱۲	۸/۳

رفتند. این پارامترها عبارت‌اند از: عمق آب زیرزمینی، تغذیهٔ خالص، سنگ‌شناسی آبخوان، توپوگرافی و کاربری اراضی. سیستم اطلاعات جغرافیایی به‌دلیل توانایی بسیار زیاد در مدیریت حجم اب‌وهی از داده‌های مکانی، برای تحلیل پارامترهای مدل SI و تهیه نقشه آسیب‌پذیری به کار گرفته شد. پنج پارامتر مدل SI با استفاده از توابع موجود در محیط GIS تهیه و طبقه‌بندی شدند. شاخص آسیب‌پذیری که از ترکیب خطی پارامترهای مدل SI بدست می‌آید، در محیط نرم‌افزار ArcGIS محاسبه شد. نقشه آسیب‌پذیری آبخوان نشان می‌دهد بخش‌هایی از مرکز و جنوب منطقه آسیب‌پذیری و پره‌زیادی دارند. همچنین نتایج نشان داد کاربری کشاورزی آبی که بیشتر قسمت‌های دشت را پوشش می‌دهد به‌دلیل استفاده از سموم و کودهای شیمیایی در این بخش، آسیب‌پذیری متوسط تا زیاد و زیاد دارد. در مدل DRASTIC از هفت پارامتر شامل عمق سطح ایستابی، تغذیهٔ خالص، محیط آبخوان، محیط خاک، توپوگرافی، محیط غیراشبع و هدایت هیدرولیکی آبخوان استفاده شده و پس از تهیه هر یک از لایه‌ها در محیط نرم‌افزار ArcGIS و رتبه‌بندی آنها، با تلفیق هفت لایه، نقشه آسیب‌پذیری بدست آمد. بر اساس مدل دراستیک تنها ناحیه کوچکی در غرب آبخوان که عمق تا سطح ایستابی کمی دارد، بیشترین آسیب‌پذیری (متوسط تا زیاد) را دارد. به‌طور کلی، می‌توان گفت که میزان آسیب‌پذیری آبخوان از شرق به غرب افزایش می‌یابد. دلیل این امر را می‌توان به مسیر جريان آب زیرزمینی که از شرق به غرب است و همچنین زیادبودن سطح ایستابی در این مناطق نسبت داد. ضریب همبستگی نقشه‌های آسیب‌پذیری دراستیک و SI با شاخص کیفی TDS (کل مواد جامد محلول) به ترتیب معادل ۰/۴۵ و ۰/۷۶ در سطح معناداری ۱ درصد است که نشان می‌دهد مدل SI با دقت

صحت‌سنجی نقشه‌های آسیب‌پذیری SI و DRASTIC به‌طور کلی، غلظت مقادیر TDS (کل مواد جامد محلول) در آب‌های زیرزمینی آلوده و قابل شرب به ترتیب زیاد و نسبتاً کم است [۲۴ و ۲۳]. بنابراین، برای صحت‌سنجی نقشه‌های آسیب‌پذیری تهیه شده از هر دو مدل، ضریب همبستگی بین نقشه‌های آسیب‌پذیری و شاخص کیفی TDS محاسبه شد. اطلاعات مربوط به مقادیر TDS چاه‌های پیزومتری منطقه (تعداد ۳۲ چاه پیزومتری) از اداره آب منطقه‌ای استان آذربایجان شرقی تهیه شده است. لایه TDS مطابق طبقه‌بندی تاد [۲۵]، به دو طبقه ۰-۱۰۰۰ میلی‌گرم در لیتر تقسیم شد که نشان‌دهنده آب شیرین است و ۰-۱۰۰۰ میلی‌گرم در لیتر که بیان‌کننده آب سور و آلوده است. در تحقیق حاضر، از روش آماری و محاسبه ضریب همبستگی اسپیرمن بین مقادیر TDS و نقشه‌های آسیب‌پذیری استفاده شد. نتایج پژوهش نشان داد مدل SI با ضریب همبستگی ۰/۷۶ دقت بیشتری نسبت به مدل DRASTIC با ضریب همبستگی ۰/۴۵ در سطح معناداری ۱ درصد دارد (جدول ۵).

جدول ۵. ضریب همبستگی مقادیر TDS با نقشه‌های SI و DRASTIC آسیب‌پذیری

ضریب همبستگی	مدل
۰/۴۵	DRASTIC
۰/۷۶	SI

نتیجه‌گیری

در این پژوهش از مدل DRASTIC و SI برای ارزیابی آسیب‌پذیری آبخوان دشت عجب‌شیر استفاده شد. پنج پارامتر هیدرولوژیکی برای نشان دادن وضعیت آسیب‌پذیری آبخوان منطقه مطالعه شده برای استفاده در مدل SI به کار

- [9]. Nakhaei M, Amiri V, Rahimi shahr Babaki M. Evaluating of the potential pollution and sensitivity analysis of groundwater in the aquifer Khatoonabad using DRASTIC model based on GIS. Advanced Applied Geology Journal. 2013; 3(8): 1-10. (In Persian)
- [10]. Etienne Ake G, Boyosso Kouadio H, Dongo K, Dibi B, Koffi Kouame F, Biemi J. Application of DRASTIC and SI methods for the study of the vulnerability pollution by nitrates (NO_3^-) of the sheet of Bonoua (Southeastern Côte d'Ivoire). International Journal of Biological and Chemical Sciences. 2010; 4 (5): 1676-1692.
- [11]. Saha D, Alam F. Groundwater vulnerability assessment using DRASTIC and Pesticide DRASTIC models in intense agriculture area of the Gangetic plains, India. Environ Monit Assess. 2014; 186: 8741-8763.
- [12]. Pedreira R, Kallioras A, Pliakas F, Gkiougkis I, Schuth C. Groundwater vulnerability assessment of a coastal aquifer system at River Nestos eastern Delta, Greece. Environ Earth Sci. 2015; 73: 6387-6415.
- [13]. Nakhostinrouhi M. The Application of Geographic Information System in the Assessment of Groundwater Contamination Potential Using DRASTIC Model and Susceptibility Analysis (Case Study: Ajabshir Plain). M.A. thesis. Faculty of Geography and Planning. University of Tabriz. 2015. 113 p. (In Persian)
- [14]. Rezaei F. Groundwater Qualitative Vulnerability Assessment Using Fuzzy Logic, Case Study: Zayanderood River Basin Aquifers. M.A. thesis. Isfahan Universirt of Technology. 2011. (In Persian)
- [15]. Stigter TY, Ribeiro L, Carvalho Dill AMM. Evaluation of an intrinsic and a specific vulnerability assessment method in comparison with groundwater salinisation and nitrate contamination levels in two agricultural regions in the south of Portugal. Hydrogeology Journal. 2006; 14 (1): 79-99.
- [16]. Ribeiro L. SI: a new index of aquifer susceptibility to agricultural pollution. Internal report. Lisbon, Portugal: ER-SHA/CVRM. 2000.
- [17]. Aller L, Bennet T, Lehr JH, Petty RJ, Hackett G. DRASTIC: a standardized system for evaluating ground water pollution potential using hydrogeologic settings. EPA/600/2-87/035, U.S. Environmental Protection Agency, Ada, Oklahoma. 1987; 641 pp.

بیشتری نقشه آسیب‌پذیری منطقه را ارائه داده است. بنابراین با توجه به نتایج به دست آمده، برای کنترل و جلوگیری از آلودگی بیشتر آبخوان دشت عجب‌شیر و حفاظت این منابع بالرتبه برای استفاده آیندگان، انجام اقدامات زیر پیشنهاد می‌شود: (الف) کاهش استفاده از سموم و کودهای شیمیایی در مزارع کشاورزی؛ ب) دفن نکردن زباله‌های صنعتی، شهری و روستایی در مناطق مسطح و با شبکه کم و مناطق با نفوذپذیری زیاد برای جلوگیری از روند رو به افزایش آلودگی آبخوان دشت عجب‌شیر.

منابع

- [1]. Babiker IS, Mohamed MAA, Hiyama T, Kato K. A GIS based DRASTIC model for assessing aquifer vulnerability in Kakamigahara Hieights, Gifu Prefecture, central Japan. Science of the Total Environment. 2005; 345: 127-140.
- [2]. Tilahun K, Merkel BJ. Assessment of Groundwater Vulnerability to Pollution in Dire Dawa, Ethiopia using DRASTIC. Environmental Earth Sciences. 2010; 59: 1485-1496.
- [3]. El-Naqa A, Hammouri N, Kioso M. GIS-based evaluation of groundwatervulnerability in the Russeifa area, Jordan. Revista Mexicana de Ciencias Geológicas. 2006; 23(3): 277-287.
- [4]. Almasri MN. Assessment of intrinsic vulnerability to contamination for Gazacoastal aquifer, Palestine. Journal of Environmental Management. 2008; 88: 577-593.
- [5]. Gogu RC, Dassargues A. Current trends and future challenges in groundwater vulnerability assessment using overlay and index methods. Environmental Geology. 2000; 549-559.
- [6]. Marofi S, Soleymani S, Ghobadi MH, Rahimi GH, Marofi H. Vulnerability assessment of Malayer plain groundwater by SINTACS, DRASTIC, and SI models. Journal of Water and Soil Conservation. 2012; 19(3): 141-166. (In Persian)
- [7]. Ahmadi J, Akhondi L, Abbasi H, Khashei-Siuaki A, Alimadadi M. Determination of aquifer vulnerability using DRASTIC model and a single parameter sensitivity analysis and acts and omissions (Case Study: Salafchegan-Neyzar Plain). Journal of Water and Soil Conservation. 2013; 20(3): 1-25. (In Persian)
- [8]. Tabarmayeh M, Vaezi Hir A. Investigation on vulnerability of Tabriz-plain unconfined aquifer. Journal of Water and Soil. 2015; 28(6): 1137-1151. (In Persian)

- [18]. Rahman A. A GIS based DRASTIC model for assessing groundwater vulnerability in shallow aquifer in Aligarh, India. *Applied Geography*. 2008; 28: 32-53.
- [19]. Piscopo G. Groundwater vulnerability map, explanatory notes, Castlereagh Catchment, NSW. Department of Land and Water Conservation, Australia.
http://www.dlwc.nsw.gov.au/care/water/groundwater/reports/pdfs/castlereag_map_notes.pdf. 2001.
- [20]. Amirahmadi A, Abbariki Z, Ebrahimi M. Evaluation of the vulnerability of Davarzan Aquifer by DRASTIC method using GIS. *Arid Regions Geographic Studies*. 2012; 2 (6): 51-66.
- [21]. Kim YJ, Hamm SY. Assessment of the potential for groundwater contamination using the DRASTIC/EGIS technique, Cheongju area, South Korea. *Hydrogeology Journal*. 1999; 17(2): 227-235.
- [22]. Alizadeh A. *Principles of applied Hydrology*. 33nd edition. Mashhad. Imam Reza University Press; 2011. (In Persian)
- [23]. Ozler HM. Hydrochemistry and salt-water intrusion in the Van aquifer, East Turkey. *Environmental Geology*. 2002; 43: 759–775.
- [24]. Mohammadi Z, Zare M, Sharifzade B. Delineation of groundwater salinisation in a coastal aquifer, Bousheher, South of Iran. *Environmental Earth Sciences*. 2012; 67(5): 1473-1484.
- [25]. Todd DK. *Groundwater Hydrology*. 2nd edition. John Wiley and Sons, New York. 1980; PP 535.